

Приведенные графики показывают, что при больших числах кавитации (фиг. 2, соответствующая  $\sigma=0.20$ ) оптимальным является вариант некавитирующей решетки (касание происходит в угловой точке, соответствующей переходу от некавитирующих решеток — горизонтальный участок кривых  $\varepsilon=\text{const}$  — к кавитирующим). При числах кавитации, меньших некоторого предела, наименьший коэффициент обратного качества достигается на суперкавитирующих решетках (фиг. 3, где  $\sigma=0.05$ ).

Поступила 23 IV 1973

#### ЛИТЕРАТУРА

1. Седов Л. И. Плоские задачи гидродинамики и аэродинамики. М., «Наука», 1966.
2. Guerst J. A. Linearised theory for partially cavitated hydrofoils. Internat. Shipbuilding Progress, 1959, vol. 6.
3. Guerst J. A. Linearised theory for fully cavitated hydrofoils. Internat. Shipbuilding Progress, 1960, vol. 7.
4. Губрий В. И. Прямая задача для решетки суперкавитирующих профилей. Гидродинамика, вып. 15. Киев, «Наукова думка», 1969.
5. Егоров И. Т., Садовников Ю. М., Исаев И. И., Басин М. А. Искусственная кавитация. Л., «Судостроение», 1971.

УДК 532.529.6:541.12

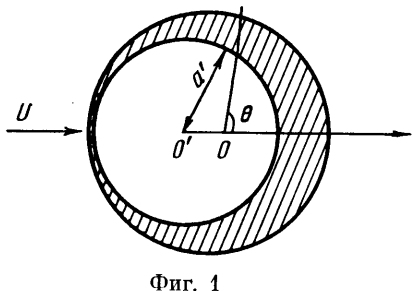
#### ДИФФУЗИЯ К ЧАСТИЦЕ, ПОКРЫТОЙ ЖИДКОЙ ПЛЕНКОЙ

Ю. П. ГУПАЛО, Ю. С. РЯЗАНЦЕВ, А. Т. ЧАЛЮК

(Москва)

Устанавливаются формулы для расчета диффузионного притока вещества к поверхности жидкой пленки на частице, находящейся в ламинарном потоке несжимаемой вязкой жидкости при малых числах Рейнольдса. Предполагается, что на поверхности пленки происходит полное поглощение диффундирующего вещества. При решении задачи для поля скоростей обтекания используется выражение, установленное в [1]. Полученные результаты обобщают выражения для диффузионного притока вещества к капле, найденные в работе [2].

Определение поля концентраций и диффузионного притока к покрытой пленкой частице проведем в приближении диффузионного пограничного слоя, что соответствует предположению  $P=Ua/D \gg 1$  ( $U$  — скорость потока на бесконечности,  $a$  — радиус сферической поверхности, совпадающей с поверхностью пленки,  $D$  — коэффициент диффузии,  $P$  — число Пекле). В этом случае безразмерное уравнение конвективной диффузии и граничные условия в сферической системе координат (фиг. 1) можно записать в виде



Фиг. 1

$$v_r \frac{\partial c}{\partial r} + \frac{v_\theta}{r} \frac{\partial c}{\partial \theta} = \frac{1}{P} \frac{1}{r^2} \frac{\partial}{\partial r} \left( r^2 \frac{\partial c}{\partial r} \right)$$

$$r=1, c=0; r \rightarrow \infty, c=1$$

Здесь  $c$  — концентрация вещества в потоке, отнесенная к значению концентрации вдали от частицы.

Введя функцию тока  $\psi$  и перейдя от переменных  $r, \theta$  к переменным  $\psi, \theta$ , получим (с учетом дополнительного условия в точке набегания)

$$\frac{1}{\sin \theta} \frac{\partial c}{\partial \theta} = - \frac{1}{P} \frac{\partial}{\partial \psi} \left( r^2 \frac{\partial \psi}{\partial r} \frac{\partial c}{\partial \psi} \right)$$

$$(1) \quad \psi=0, \quad c=0; \quad \psi \rightarrow \infty, \quad c=1; \quad \theta=\pi, \quad c=1$$

$$\left( v_r = \frac{1}{r^2 \sin \theta} \frac{\partial \psi}{\partial \theta}, \quad v_\theta = - \frac{1}{r \sin \theta} \frac{\partial \psi}{\partial r} \right)$$

Для функции тока  $\psi$  используем двучленное разложение, найденное в работе [1]. Считая толщину диффузационного пограничного слоя малой и вводя координату  $y=r-1 \ll 1$ , имеем

$$(2) \quad \begin{aligned} \psi &= \frac{1}{2}y(My+N)\sin^2\theta \\ M &= (1+R_1)(1+2K-3eb_2^e\cos\theta)-R_1\cos\theta(1-2K+3b_2^{R_1})+ \\ &+ eR\left\{\frac{b_2^e}{120}(2+K)-\frac{5\cos^2\theta-1}{4}\left[5b_2^{eR}+\frac{b_2^e}{10}(1+3K)\right]\right\} \\ N &= (1+R_1)(1-K+2eb_2^e\cos\theta)-R_1\cos\theta(1-2b_2^{R_1})+ \\ &+ eR\left\{\frac{b_2^e}{30}(K-7)+\frac{5\cos^2\theta-1}{4}\left[2b_2^{eR}+\frac{1}{20}b_2^e(3+K)\right]\right\} \end{aligned}$$

Здесь  $R=Ua/\nu$  — число Рейнольдса,  $\nu$  — коэффициент кинематической вязкости в потоке,  $e$  — безразмерное расстояние  $O O'$  (фиг. 1),  $\kappa$  — отношение коэффициентов динамической вязкости в потоке и в пленке. Коэффициенты  $b_2^e$ ,  $K$ ... приведены в общем виде в [1]. Выпишем их вид в приближении тонкой пленки ( $h_0=(a-a')/a \ll 1$ , где  $a'$  — радиус твердой сферы)

$$\begin{aligned} R_1 &= \frac{1}{4}(1+\frac{1}{2}K)R, \quad b_2^{R_1} = \frac{1}{2}KK_1(1+\kappa h_0), \quad b_2^e = \frac{3}{8}\kappa KK_1 \\ b_2^{eR} &= \frac{1}{24}b_2^e K_2(3K-5-10K^{-1}) \\ K^{-1} &= 1+3/4\kappa h_0, \quad K_1^{-1} = 1+5/4\kappa h_0, \quad K_2^{-1} = 1+7/4\kappa h_0 \end{aligned}$$

Решение задачи (1), (2) может быть получено в аналитической форме в тех случаях, когда в первом выражении в (2) допустимо пренебрежение одним из слагаемых в круглых скобках. Так, для твердой частицы в отсутствие пленки  $\kappa=0$ ,  $b_2^{R_1}=1/2$ ,  $N=0$ . Для капли и для частицы, покрытой жидкой пленкой, в случае, когда вязкость жидкости в капле (пленке) мала по сравнению с вязкостью внешней жидкости, можно пренебречь первым слагаемым. Тогда в результате решения задачи (1), (2) поле концентраций определяется в следующем виде:

$$\begin{aligned} c &= \frac{2}{\sqrt{\pi}} \int_0^\eta \exp(-\eta^2) d\eta, \quad \eta = \frac{\Psi}{2\sqrt{t}} \\ t &= \frac{1}{2P} \int_0^\pi (q_0 + q_1 \cos\theta + q_2 \cos^2\theta) \sin^3\theta d\theta \end{aligned}$$

Здесь

$$\begin{aligned} q_0 &= (1+R_1)(1-K) + eR\left[\frac{1}{48}b_2^e(K-13) - \frac{1}{2}b_2^{eR}\right] \\ q_1 &= 2(1+R_1)eb_2^e - R_1(1-2b_2^{R_1}) \\ q_2 &= eR\left[\frac{5}{2}b_2^{eR} + \frac{1}{16}b_2^e(3+K)\right] \end{aligned}$$

Отсюда выражение для локального диффузационного потока на частицу, покрытую жидкой пленкой, имеет вид

$$(3) \quad j = \frac{Dc_0}{a} \left( \frac{\partial c}{\partial y} \right)_{y=0} = \frac{Dc_0}{2a\sqrt{\pi t}} (q_0 + q_1 \cos\theta + q_2 \cos^2\theta) \sin^2\theta$$

Из (3) получаем выражение для среднего по поверхности числа Шервуда

$$(4) \quad \begin{aligned} Sh &= -\frac{1}{2} \int_0^\pi \left( \frac{\partial c}{\partial y} \right)_{y=0} \sin\theta d\theta = \left[ \frac{2P}{3\pi} \left( q_0 + \frac{1}{5}q_2 \right) \right]^{\frac{1}{2}} = \\ &= \left( \frac{2}{3\pi} P \right)^{\frac{1}{2}} \left\{ \left[ 1 + \frac{1}{4} \left( 1 + \frac{1}{2}K \right) R \right] (1-K) + eRb_2^e \frac{K-7}{30} \right\}^{\frac{1}{2}} \end{aligned}$$

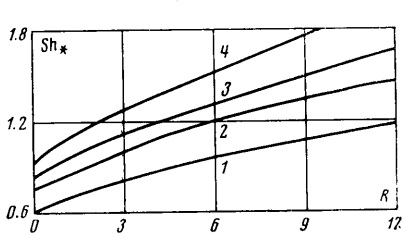
Заметим, что приведенные результаты содержат в качестве частного слоя формулы для локального диффузационного потока и числа Шервуда для капли. Для получе-

ния этих формул необходимо устремить радиус твердой частицы к нулю в выражениях коэффициентов  $K$ ,  $b_2^e$ , ... (см. [1]). Тогда значения  $q_0$ ,  $q_1$ ,  $q_2$  в формуле (3) и числа Шервуда для этого случая принимают вид [2]

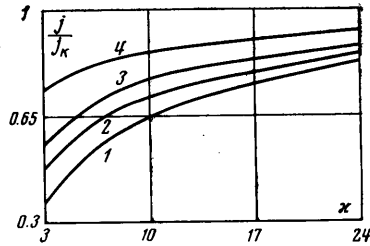
$$(5) \quad q_{0k} = \frac{\kappa}{\kappa+1} \left[ 1 + \frac{2\kappa+3}{8(\kappa+1)} R \right], \quad q_{1k} = \frac{(2\kappa+3)(5\kappa+4)\kappa}{40(\kappa+1)^3} R, \quad q_{2k}=0$$

$$Sh_k = 0.46 P^{1/2} \left[ \frac{\kappa}{\kappa+1} \left( 1 + \frac{2\kappa+3}{8(\kappa+1)} R \right) \right]^{1/2}$$

Если изменить направление набегающего потока на противоположное (при этом пленка будет смещена относительно частицы навстречу потоку), то во всех получен-



Фиг. 2



Фиг. 3

ных формулах члены, пропорциональные эксцентрикитету  $e$ , изменят знак. В этом случае, как видно из (4), диффузионный поток возрастает.

В приближении тонкой пленки выражение (4) для числа Шервуда принимает вид

$$(6) \quad Sh = 0.46 P^{1/2} \left\{ \frac{\frac{3/4\kappa h_0}{1+3/4\kappa h_0}}{1+7/8\kappa h_0} \left[ 1 + \frac{3R}{8} \frac{1+1/2\kappa h_0}{1+3/4\kappa h_0} - \right. \right. \\ \left. \left. - \frac{eR}{10h_0} \frac{1+7/8\kappa h_0}{(1+3/4\kappa h_0)(1+5/4\kappa h_0)} \right] \right\}^{1/2} = 0.46 P^{1/2} Sh_*$$

В качестве примера на фиг. 2 приведена зависимость числа Шервуда  $Sh_*$  от числа Рейнольдса для разных значений  $\kappa$  при  $h_0=e=0.2$ . Кривым 1-4 соответствуют значения  $\kappa$ , равные 4, 10, 20, 100. Видно, что полный поток на частицу, покрытую пленкой, растет с ростом  $R$  и  $\kappa$ .

Возвращаясь к выражению (3) для локального диффузионного потока на частицу, покрытую пленкой, рассмотрим отношение его к локальному потоку на каплю в передней критической точке  $\theta=\pi$ . Зависимость  $(j/j_k)_{\theta=\pi}$  от  $\kappa$  приведена на фиг. 3 при  $h_0=e=0.2$ . Кривым 1-4 соответствуют числа Рейнольдса, равные 0,  $1/2$ , 1, 8. Видно, что отношение  $(j/j_k)_{\theta=\pi}$  растет с увеличением  $\kappa$  и  $R$ , оставаясь меньшим единицы для конечных  $\kappa$ , причем при  $\kappa \rightarrow \infty$ ,  $(j/j_k)_{\theta=\pi} \rightarrow 1$ .

Анализ отношения  $Sh/Sh_k$ , согласно формулам (5), (6), показывает, что полный диффузионный поток на частицу, покрытую пленкой, меньше полного потока на каплю (в предельном случае  $Sh/Sh_k \rightarrow 1$  при  $\kappa \rightarrow \infty$ ). Это связано с более интенсивным конвективным переносом вещества вблизи поверхности капли за счет больших скоростей потока в пограничном слое капли по сравнению со скоростями в пограничном слое покрытой пленкой частицы.

Авторы благодарят В. С. Бермана за ценные замечания.

Поступила 10 XII 1974

#### ЛИТЕРАТУРА

- Гупало Ю. П., Рязанцев Ю. С., Чалюк А. Т. Обтекание покрытой жидкостью сферы при малых числах Рейнольдса. Изв. АН СССР, МЖГ, 1974, № 3.
- Гупало Ю. П., Рязанцев Ю. С., Чалюк А. Т. Диффузия к капле при больших числах Рейнольдса. Изв. АН СССР, МЖГ, 1972, № 2.